

## ПРИМЕНЕНИЕ УШИРЕНИЯ СПЕКТРАЛЬНЫХ ЛИНИЙ В ДИАГНОСТИКЕ ЭЛЕКТРОРАЗРЯДНЫХ ЭРОЗИОННЫХ ПЛАЗМЕННЫХ ПОТОКОВ

Авраменко В.Б., Кузьмицкий А.М., Минько Л.Я.

Институт молекулярной и атомной физики НАН Беларуси

220072, Минск, пр. Ф. Скорины 70

Email: lrpd@imaph.bas-net.by

Спектроскопическими методами можно проводить исследования в широком интервале основных параметров плазмы. Использование в диагностических целях различных спектральных линий позволяет получать сведения о параметрах плазмы в тех областях источника, где происходит их эффективное возбуждение. В неоднородном источнике плазмы распределение зон высвечивания спектральных линий обуславливается различными факторами – потенциалом возбуждения, постоянной квадратичного эффекта Штарка и др., которые и определяют аналитические возможности спектральных линий.

В настоящей работе приводятся результаты экспериментальных исследований параметров плазмы различных источников с использованием квадратичного эффекта Штарка. Концентрация электронов определялась по различным спектральным линиям, обладающим значительной величиной постоянной уширения.

Концентрация заряженных частиц в эрозионном плазменном ускорителе определялась по уширению спектральных линий атомов и ионов элементов, входящих в состав материала подложки: SiII 637,1 нм ( $E_b=12,07$  эВ), FI 623,9 (14,68), FII 429,9 (29,55), CII 426,7 (20,95), обусловленных квадратичным эффектом Штарка. Концентрация электронов определялась как по пересчитанным на радиальное распределение контурам, так и по непересчитанным

(табл.1).

Во всех исследуемых случаях в качестве накопителя энергии использовалась конденсаторная батарея емкостью 24 мкФ, которая заряжалась до напряжения  $U_0 = 5\text{kV}$ , однако, в зависимости от величины начальной индуктивности разрядного контура величина разрядного тока могла существенно изменяться.

ТАБЛИЦА 1

Распределение концентрации электронов вдоль радиуса, измеренное по различным спектральным линиям

радиус, мм	$N_e \cdot 10^{-7} \text{ см}^{-3} (U_0 = 5\text{kV})$					
	SiII637,1		FlI623,9		FlI429,9	
	без пересче- тка контуров	с пересче- том контуров	без пересчета контуров	с пересче- том контуров	без пересчета контуров	с пересче- том контуров
0	3,9	-	4,2	-	5,9	-
1	4,4	4,7	4,0	-	4,8	4,0
2	4,3	4,8	4,2	4,2	4,8	4,0
3	3,9	4,7	4,0	4,0	6,6	4,0
4	3,5	4,1	3,9	4,0	-	-
5	3,5	3,8	3,9	3,8	-	-

Заметного изменения концентрации электронов ( $N_e$ ) вдоль радиуса плазменной струи не происходит. Малое отличие  $N_e$  при измерении по пересчитанным по радиусу и непересчитанным контурам указывает на высокую однородность источника. В этих условиях определение концентрации электронов с использованием уширения различных линий дает близкие по величине значения.

Вдоль оси струи на расстоянии 0,6 см от среза сопла  $N_e$  заметно ниже по сравнению с ее величиной у среза и уменьшается вдоль радиуса. Измерение концентрации электронов методами

голографической интерферометрии и по уширению спектральной линии FI 623,9 дает близкие результаты.  $N_e$ , измеренное методом голографической интерферометрии достигает  $1,7 \cdot 10^{18} \text{ см}^{-3}$ , а максимальное значение  $N_e$ , измеренное по уширению спектральной линии FI 623,9, достигает  $1,4 \cdot 10^{18} \text{ см}^{-3}$ . Такое согласие указывает на высокую достоверность полученных результатов.

Измерения концентрации заряженных частиц с пространственно-временным разрешением проводились по штарковскому уширению спектральной линии атома фтора FI 623,9 нм (табл.2).

### ТАБЛИЦА 2

Распределение концентрации электронов вдоль радиуса для различных моментов времени

радиус, мм	$N_e \cdot 10^{-17} \text{ см}^{-3} (U_0 = 5 \text{ кВ})$		
	1 кадр	3 кадр	5 кадр
0	14	6,2	6,2
1	15	6,7	6,2
2	13	6,2	6,2
3	11	6,2	6,2
4	10	5,7	6,7
4,5	-	5,2	6,7

Концентрация частиц имеет максимальное значение в начале высвечивания линии. В это же время наблюдается некоторое уменьшение концентрации вдоль радиуса, однако через 4 мкс она не только уменьшается по абсолютному значению  $\sim 2$  раза, но и несколько выравнивается вдоль радиуса. Спустя  $\sim 8$  мкс концентрация электронов имеет не только более выровненный постоянный характер вдоль радиуса струи, но и обнаруживается максимальное значение вдали от оси.

Использование квадратичного эффекта Штарка спектральной линии FII 429,9 нм в импульсном приповерхностном разряде позволило обнаружить одновременное существование двух максимумов концентрации заряженных частиц на различных расстояниях ( $h$ ) от поверхности стенки, соответствующим двум каналам разряда (середина межэлектродного промежутка, экспозиция 4мкс,  $U_0=5$ кВ) (см. рис.).

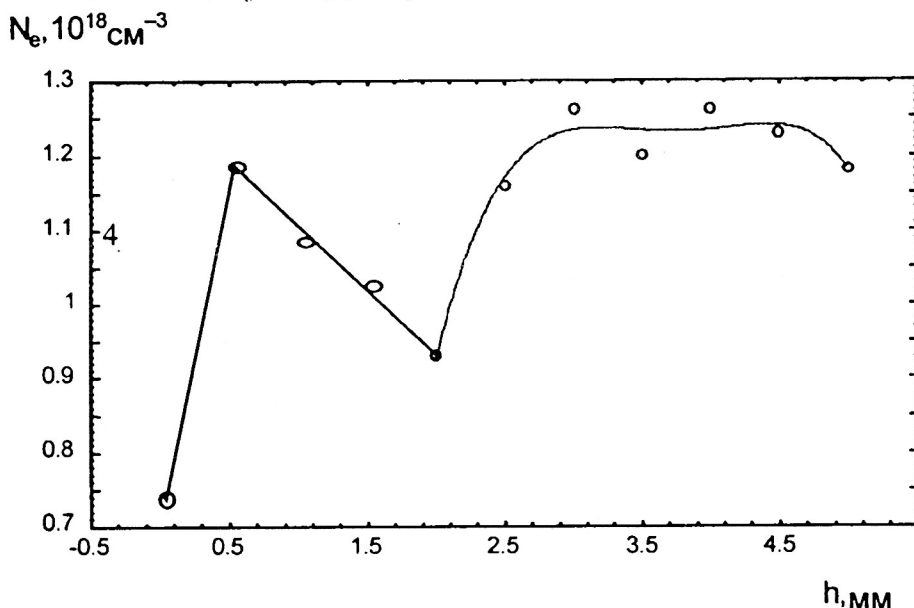


Рис. Распределение электронной концентрации

Анализ распределения интенсивностей спектральных линий показал, что первый максимум электронной концентрации соответствует высвечиванию атомных спектральных линий, а второй максимум – ионных спектральных линий. Ход концентрации электронов соответствует наблюдаемой на СФР-граммах картине течения разряда.